

1) Darstellungstheorie der Quantenmechanik *oder von Schrödinger zu Dirac und Heisenberg*

 Burgd. 6

 Schwabl 8



Ziel

Darstellung Schrödinger-Glg. in **verschiedenen Basis-Syst.**
Transfer der Zeitentwicklung von Wellenfunktion zum Operator

1.1) Dirac Notation

oder von bra's \langle and ket's \rangle **Ziel**

Basisunabhängige Notation der Schrödinger-Glg.

Ausgangspunkt: Schrödinger-Glg.

$$i\hbar \frac{\partial}{\partial t} \psi(\vec{r}, t) = H(\vec{r}) \psi(\vec{r}, t) = \left(-\frac{\hbar^2}{2m} \vec{\nabla}^2 + V(\vec{r}) \right) \psi(\vec{r}, t) \quad (1)$$

Frage

Warum tritt – im Gegensatz zur analytischen Mechanik – in der Schrödinger-Gleichung nur \vec{r} nicht \vec{p} auf?

$$H(\vec{r}, \vec{p}) \rightarrow H(\vec{r}) \quad , \quad \vec{p} \rightarrow \frac{\hbar}{i} \vec{\nabla}$$

AntwortWellenfunktion $\psi(t) \in \mathcal{H}$ ist Vektorin linearem Vektorraum (Hilbertraum \mathcal{H}) $\psi(\vec{r}, t)$, $H(\vec{r})$ sind lediglich Darstellungen in **Ortsraum-Basis**Vgl. mit $\vec{v} \in \mathbb{R}^3$ Basis 1: $\vec{v} = \sum_i v_i \vec{e}_i$; Basis 2: $\vec{v} = \sum_i v'_i \vec{e}'_i$ $\psi(\vec{r}, t)$ entspricht v_i für fixen Zeitpunkt t **Dirac Notation** $|\psi(t)\rangle$ entspricht \vec{v} Skalarprodukt liefert $v_i = \vec{e}_i^{\text{Tr}} \vec{v} = (\vec{e}_i, \vec{v}) = \sum_j \underbrace{(\vec{e}_i, \vec{e}_j)}_{\delta_{i,j}} (\vec{e}_j, \vec{v})$

Skalarprodukt liefert

$$\psi(\vec{r}, t) = \underbrace{\langle \vec{r} | |\psi(t)\rangle}_{\equiv \langle \vec{r} | \psi(t)\rangle} = \int d^3 r' \underbrace{\langle \vec{r} | \vec{r}'\rangle}_{\delta(\vec{r}-\vec{r}')} \underbrace{\langle \vec{r}' | \psi(t)\rangle}_{\psi(\vec{r}', t)} = \psi(\vec{r}, t)$$

Beispiel

Eigenwert-Glg. für Eigenfunktion $|\psi_{\vec{k}}\rangle \equiv |\vec{k}\rangle$
zum Impuls-Operator \vec{p}

Dirac-Notation:

$$\vec{p} |\psi_{\vec{k}}\rangle = \hbar \vec{k} |\psi_{\vec{k}}\rangle \quad (2)$$

⇒ Darstellung im Ortsraum durch Projektion auf $\langle \vec{r} |$

s. 


$$\frac{\hbar}{i} \vec{\nabla} \psi_{\vec{k}}(\vec{r}) = \hbar \vec{k} \psi_{\vec{k}}(\vec{r}) \quad (3)$$

Ziel (erreicht)

Abstrakte, basisunabhängige Darstellung der Schrödinger-Glg.

$$i\hbar \frac{\partial}{\partial t} |\psi(t)\rangle = H |\psi(t)\rangle \quad (4)$$

⇒ gewohnte Schrödinger-Glg. im Orts-Raum


durch Projektion auf $\langle \vec{r} |$ s. 

$$i\hbar \frac{\partial}{\partial t} \psi(\vec{r}, t) = H(\vec{r}) \psi(\vec{r}, t) = \left(-\frac{\hbar^2}{2m} \vec{\nabla}^2 + V(\vec{r}) \right) \psi(\vec{r}, t) \quad (1)$$

1.2) Impulsdarstellung der Schrödinger-Gleichung Burgd. 6.2 oder Fouriertrafo von Differential- zu Integral-Glg. Schwabl. 8.3.2

Ziel

Schödinger-Glg. im Impuls-Raum

folgt durch Projektion von $i\hbar \frac{\partial}{\partial t} |\psi(t)\rangle = H|\psi(t)\rangle$ auf $\langle \vec{p} |$ s. 

$$i\hbar \frac{\partial}{\partial t} \psi(\vec{k}, t) = \frac{\hbar^2 k^2}{2m} \psi(\vec{k}, t) + \int d^3k' \underbrace{\tilde{V}(\vec{k}' - \vec{k})}_{\equiv \int d^3r \frac{e^{i\vec{r}(\vec{k}' - \vec{k})}}{(2\pi)^3} V(\vec{r}) \text{ (F.T.)}} \psi(\vec{k}', t) \quad (5)$$

Integralgleichung! (Fredholmsche, d.h. linear in $\psi(\vec{k}, t)$
und konstante Integrationsgrenzen $[-\infty \dots \infty]$)

Schrödinger-Glg. im Impuls-Raum

$$i\hbar \frac{\partial}{\partial t} \psi(\vec{k}, t) = \frac{\hbar^2 k^2}{2m} \psi(\vec{k}, t) + \int d^3 k' \tilde{V}(\vec{k}' - \vec{k}) \psi(\vec{k}', t)$$

kann auch auf folgende Form gebracht werden (s. )

$$i\hbar \frac{\partial}{\partial t} \psi(\vec{k}, t) = \frac{\hbar^2 k^2}{2m} \psi(\vec{k}, t) + V\left(-\frac{\hbar}{i} \vec{\nabla}_{\vec{k}}\right) \psi(\vec{k}, t) \quad (6)$$

Man sieht, Impuls-Darst. ist i.d.R. **komplizierter**,
da $V(\vec{r})$ i.d.R. **verschiedene** Potenzen von \vec{r} enthält

Anwendung: **periodisches** $V(\vec{r}) = V(\vec{r} + \vec{R})$ in Festkörperphysik

Beispiel

Hamonischer Oszillator in einer Dimension (1D)
 (zeitunabh. Schrödinger-Glg. im Impulsraum)

Klassische Mechanik: $H = \frac{p^2}{2m} + \frac{1}{2}m\omega^2 x^2$

$$E \psi(\vec{k}) = \left[\frac{p^2}{2m} + \frac{1}{2}m\omega^2 x^2 \right] \psi(\vec{k}) \quad (7)$$

$$\stackrel{\text{Imp. Darst.}}{=} \left[\frac{p^2}{2m} - \frac{\hbar^2 m \omega^2}{2} \left(\frac{\partial}{\partial p} \right)^2 \right] \psi(\vec{k}) \quad (8)$$

folgt aus Analogie $x \leftrightarrow p$ oder Glg. (6).

Zusammenfassung

$$\langle \vec{r} | \mathbf{k} \rangle = \frac{1}{\sqrt{(2\pi)^3}} e^{i\mathbf{k}\vec{r}}$$

	Orts-Darst.	Impuls-Darst.
Orthogon. Vollständ.	$\langle \vec{r} \vec{r}' \rangle = \delta(\vec{r} - \vec{r}')$ $\int d^3r \vec{r}\rangle \langle \vec{r} = \mathbf{1}$	$\langle \vec{k} \vec{k}' \rangle = \delta(\vec{k} - \vec{k}')$ $\int d^3k \vec{k}\rangle \langle \vec{k} = \mathbf{1}$
Orts-Op. \hat{r} Impuls-Op. \hat{p}	$\langle \vec{r} \hat{r} \vec{r}' \rangle = \vec{r} \delta(\vec{r} - \vec{r}')$ $\langle \vec{r} \hat{p} \vec{r}' \rangle = \frac{\hbar}{i} \vec{\nabla} \delta(\vec{r} - \vec{r}')$	$\langle \vec{k} \hat{r} \vec{k}' \rangle = i\hbar \vec{\nabla}_{\vec{k}} \delta(\vec{k} - \vec{k}')$ $\langle \vec{k} \hat{p} \vec{k}' \rangle = \hbar \vec{k} \delta(\vec{k} - \vec{k}')$
S-Glg.	$i\hbar \frac{\partial}{\partial t} \langle \vec{r} \psi(t) \rangle =$ $[\frac{-\hbar^2}{2m} \vec{\nabla}^2 + V] \langle \vec{r} \psi(t) \rangle$	$i\hbar \frac{\partial}{\partial t} \langle \vec{k} \psi(t) \rangle = \frac{\hbar^2 k^2}{2m} \langle \vec{k} \psi(t) \rangle$ $+ \int d^3k' \tilde{V}(\vec{k}' - \vec{k}) \langle \vec{k}' \psi(t) \rangle$
Wellenfkt.	$\psi(\vec{r}, t) = \langle \vec{r} \psi(t) \rangle$	$\psi(\vec{k}, t) = \langle \vec{k} \psi(t) \rangle$

1.3) Heisenbergsche Matrizenmechanik oder Schrödinger-Glg. in diskretem VONS

 Burgd. 6.3, 6.4

 Schwabl. 8.3.3

Zusammenfassung (Heisenbergsche Matrizenmechanik)

Sei $\{|\phi_n\rangle\}_{n \in \mathbb{N}}$ VONS

z.B. Eigenbasis zu Operator A :

$$A|\phi_n\rangle = a_n|\phi_n\rangle$$

Projektion von S -Glg. in Dirac-Notation auf $\langle\phi_n|$ liefert

s. 

$$i\hbar \frac{\partial}{\partial t} \underbrace{\psi_n(t)}_{\equiv \langle\phi_n|\psi(t)\rangle \equiv \psi(n,t)} = \sum_m \underbrace{H_{nm}}_{\equiv \langle\phi_n|H|\phi_m\rangle} \psi_m(t) \quad (9)$$

Zusammenfassung (Transformationstheorie)

Betrachte zweites VONS $\{|\tilde{\phi}_n\rangle\}_{n \in \mathbb{N}}$
dann gilt analoge Matrizen-Glg.

$$i\hbar \frac{\partial}{\partial t} \underbrace{\tilde{\psi}_n(t)}_{\equiv \langle \tilde{\phi}_n | \psi(t) \rangle \equiv \tilde{\psi}(n,t)} = \sum_m \underbrace{\tilde{H}_{nm}}_{\equiv \langle \tilde{\phi}_n | H | \tilde{\phi}_m \rangle} \tilde{\psi}_m(t) \quad (10)$$

mit **unitärer** Basis-Transformation U ($U^\dagger U = 1$)

s. 

$$\tilde{H}_{nm} = \sum_{n' m'} \underbrace{\langle \tilde{\phi}_n | \phi_{n'} \rangle}_{= U_{nn'}^\dagger} \underbrace{\langle \phi_{n'} | H | \phi_{m'} \rangle}_{\equiv H_{n' m'}} \underbrace{\langle \phi_{m'} | \tilde{\phi}_m \rangle}_{\equiv U_{m' m}} \quad (11)$$

statt $n \in \mathbb{N}$ auch kontinuierlicher Index möglich, z.B.

$$n \leftrightarrow \vec{r} \quad \sum_n \leftrightarrow \int d^3 r \quad (12)$$


1.4) Bilder der Zeitentwicklung

oder vom zeitabh. Zustand zum zeitabh. Operator

 Burgd. 6.5 Schwabl. 8.5

Ausgangspunkt Schrödinger-Bild

$$|\psi(t)\rangle = U(t)|\psi(t=0)\rangle \quad (13)$$

mit $U(t) = e^{-\frac{i}{\hbar}Ht}$ unitär, s. 

Idee

Alternative: Heisenberg Bild

$$|\psi_H(t)\rangle \equiv U^{-1}(t)|\psi(t)\rangle = U^\dagger U|\psi(t=0)\rangle = |\psi(0)\rangle \equiv |\psi_H\rangle \quad (14)$$

Zustände (WF) zeitunabh., dafür Operatoren zeitabh.

s. 

$$\underbrace{A_H(t)}_{\text{Heisenberg-Bild}} = U^\dagger(t) \underbrace{A}_{\text{Schrödinger-Bild}} U(t) \quad (15)$$

Aus den Definitionen (14), (15) folgen



Zusammenfassung (Heisenbergsche Bewegungs-Glg.)

$$i\hbar \frac{d}{dt} A_H(t) = [A_H(t), H] \quad \left(+i\hbar \frac{\partial}{\partial t} A_H(t) \right) \quad (16)$$

sowie

QM-Version der klass. Hamiltonschen Bewegungs-Glg.

für kanonisch-konjugierte Operatoren z.B. x und p :



$$\frac{d}{dt} \langle x \rangle = \frac{1}{i\hbar} \langle [x_H(t), H] \rangle = \left\langle \frac{\partial}{\partial p} H \right\rangle \quad (17)$$

$$\frac{d}{dt} \langle p \rangle = \frac{1}{i\hbar} \langle [p_H(t), H] \rangle = - \left\langle \frac{\partial}{\partial x} H \right\rangle \quad (18)$$

Aus QM-Version der Bewegungsglgn. (17),(18), folgt

Theorem (Ehrenfestsches)

Für Potentiale $V(x)$ mit Polynomgrad $\lesssim 2$ (in x) gelten
klass. Bewegungsglg. für quantenmech. Erwartungswerte

Beweis: Ableitungen in Glg. (18) liefern nur $\langle x \rangle$

s.



(i.A. tritt in Glg. (18) z.B. $\langle x^2 \rangle \stackrel{i.A.}{\neq} \langle x \rangle^2$ auf!)

Idee (2. Alternative: Wechselwirkungs-Bild)

Zerlege H in zeitunabh. Teil H_0 und zeitabh. Teil $V(t)$:

$$H = H_0 + V(t) \quad (19)$$

Zusammenfassung

Dies überträgt Teil der Zeitentw. (bzgl. H_0) auf Operatoren:

$$|\psi_I(t)\rangle \equiv \underbrace{U_0^{-1}(t)}_{\equiv e^{-\frac{i}{\hbar}H_0 t}} |\psi(t)\rangle \quad (20)$$

$$\Rightarrow i\hbar \frac{d}{dt} |\psi_I(t)\rangle = V_I(t) |\psi_I(t)\rangle \quad (21)$$

$$\Rightarrow \underbrace{A_I(t)}_{\text{WW-Bild}} = U_0^\dagger(t) \underbrace{A}_{\text{Schrödinger-Bild}} U_0(t) \quad (22)$$

$$\Rightarrow i\hbar \frac{d}{dt} A_I(t) = [A_I(t), H_0] \quad \left(+i\hbar \frac{\partial}{\partial t} A_I(t) \right) \quad (23)$$